

Синтез и антибиотические свойства олигомерных силлесквиоксанов, содержащих в органическом обрамлении кватернизированные атомы азота и гидроксильные группы

М.А. Гуменная¹, Н.С. Клименко¹, А.В. Стрюцкий¹, Д.М. Годына², Л.А. Метелица², А.В. Шевчук³, В.В. Кравченко³, В.В. Шевченко¹

¹Институт химии высокомолекулярных соединений НАН Украины
48, Харьковское шоссе, Киев, 02160, Украина

²Институт биоорганической химии и нефтехимии НАН Украины
1, ул. Мурманская, Киев, 02660, Украина

³Институт физико-органической химии и углехимии им. Л. М. Литвиненко НАН Украины
50, Харьковское шоссе, Киев, 02160, Украина

*Предложен метод синтеза амфи菲尔ных реакционноспособных олигомерных силлесквиоксанов, основанный на реакции кватернизации н-бромдеканом смеси олигосиллесквиоксанов, содержащих в органическом обрамлении третичные аминные, первичные и вторичные гидроксильные группы. Исследована их антибиотическая активность по отношению к некоторым бактериальным культурам и грибам. Строение синтезированного вещества охарактеризовано методами ИК- и ¹Н ЯМР спектроскопии. Установлено, что данное соединение не влияет на штаммы бактерий *Staphylococcus aureus* (ATCC-25923), *Escherichia coli* (ATCC-25922) и *Pseudomonas aeruginosa* (ATCC-27853) и в то же время имеет дозависимое фунгицидическое действие на гриб *Candida albicans* (M 885 ATCC 10231), клинические изоляты *Candida albicans*, *Candida glabrata* и *Candida krusei*.*

Ключевые слова: олигомерные силлесквиоксаны, кватернизация, четвертичные аммониевые соединения, антибиотическая активность.

Полиэдральные олигомерные силлесквиоксаны и органо-неорганические композиты на их основе в последнее время являются объектом широких исследований [1–11]. Интерес к данным соединениям вызван их уникальным строением и свойствами. Они представляют собой трёхмерные органо-неорганические частицы общей формулы $(RSiO_{1.5})_n$, содержащие в своём составе силлесквиоксановое ядро $(SiO_{1.5})_n$ и органические радикалы различного строения и функциональности на оболочке. Наиболее изучены октаэдральные олигомерные силлесквиоксаны ($n = 8$, POSS) [1–11], характеризующиеся кубической формой. Особенностью данных наночастиц является монодисперсный размер и контролированная функциональность. Это позволило использовать их для полученияnanostructured organo-inorganic composite materials with enhanced thermal and mechanical stability, resistance to oxidation, reduced flammability, for application in various fields [1, 3–9], in particular in biomedical applications [5, 7, 8, 10, 11]. In the last case, the important feature is the presence of quaternary ammonium groups in the POSS core, which are able to bind to biological membranes and exert their antimicrobial activity [12–16].

Особенностью POSS являются наличие инертных и нетоксичных Si—O—Si- и Si—C-связей и возможность введения в органическую часть функциональных групп и фрагментов с необходимыми биологическими свойствами. Так, материалы на основе POSS предложены для тканевой инженерии [12, 13], стоматологии [14, 15], доставки лекарств в организме [16], как биосенсоры [17].

Введение в органическое обрамление POSS четвертичных аммониевых групп открыло возможность использования их в качестве антибиотических материалов [18–21]. Кватернизированные аммониевые производные органических соединений широко используются как дезинфицирующие вещества, антисептики и вещества, препятствующие биологическому обрастианию [22–26]. Известно, что антибиотическое действие таких соединений во многом связано с их амфи菲尔ностью [22, 26]. Взаимодействие как гидрофильных ионных групп, так и гидрофобных алкильных радикалов кватернизированных фрагментов с клеточной стенкой или цитоплазматической мембраной микроорганизмов приводит к

повреждению последней и препятствуют её дальнейшему функционированию [22, 25, 26]. Перспективность использования POSS как неорганического каркаса для получения антимикробных агентов связана с возможностью объединения в компактной структуре значительного количества аммониевых групп и одновременного регулирования амфи菲尔ности изменением как степени гидрофобности (длины) вводимого алкильного радикала, так и общего количества ионных групп и природы аниона, а также с повышением термостабильности полученных соединений.

В то же время информация о получении антимикробных материалов на основе POSS весьма ограничена [18–21]. В [18] описаны кватернизированные POSS, способные предупреждать рост бактерий *Escherichia coli* и *Staphylococcus aureus*, а также гриба *Candida albicans*. Установлена зависимость их антимикробной активности от количества кватернизированных групп, длины алкильного радикала [18], а также природы протоиона [19]. Синтезированные соединения предлагаются использовать при получении антиобрастающих покрытий [20]. Описанный в [21] POSS, содержащий в органическом обрамлении различное количество диметил-*n*-октиламмоний хлоридных групп, характеризуется широким спектром бактерицидной активности и предупреждает рост бактерий *Staphylococcus aureus*, *Escherichia coli* и *Pseudomonas aeruginosa*.

Учитывая сложность и дороговизну синтеза исходных POSS нами предложен иной подход к синтезу реакционноспособных органо-неорганических кватернизированных бактерицидных соединений с неорганическим ядром силлесквиоксановой природы. Он основан на использовании в качестве исходной неорганической составляющей смеси олигомерных силлесквиоксанов, содержащих в органическом обрамлении гидроксильные и третичные аминогруппы (OSS(N+OH)) [27], с последующей кватернизацией аминогрупп различными агентами. Простота синтеза OSS(N+OH) и его полифункциональная реакционная способность открывают новые возможности направленного получения органо-неорганических антимикробных агентов. В данном сообщении изложены результаты синтеза первого представителя амфи菲尔ных реакционноспособных олигомерных силлесквиоксанов, содержащего в своём составе соль четвертичного аммония, и исследования его антимикробной активности по отношению к ряду микроорганизмов.

Экспериментальная часть.

Материалы.

3-Аминопропилтриэтилоксисилан (Aldrich, 99 %), глицидол (Aldrich, 96 %), *n*-бромдекан (Aldrich, 98 %) были использованы без дополнительной очистки. Диметилсульфоксид (ДМСО) и ацетонитрил были перегнаны перед применением.

Синтез смеси амино- и гидроксилсодержащих олигомерных силлесквиоксанов (OSS(N+OH)). Синтез

исходного OSS(N+OH) осуществляли в соответствии с [27–29]. ИК: ν Si—O—Si (1031 см⁻¹); ν C—H-связей CH₂- и CH₃-групп (2765–3020 см⁻¹); δ C—H-связей CH₂- и CH₃-групп (1462 см⁻¹); ν O—H-связей (3020–3723 см⁻¹). ¹H ЯМР (DMSO-d₆): 0,51 м.д. ([SiO_{1,5}]_n—CH₂—); 1,50 м.д. (=N—CH₂—CH₂—); 2,38 и 2,78 м.д. (=N—CH₂—CH₂—); 3,34; 3,39; 3,56 и 3,71 м.д. (=N—CH₂—CH(OH)—, —CH₂OH, —CH₂OH, —CH(OH)—).

Синтез олигомерных силлесквиоксанов, содержащих кватернизированные атомы азота и гидроксильные группы (OSS-C₁₀N⁺Br). К раствору 3,06г (0,0107 г-экв) OSS(N+OH) в 6 мл ДМСО добавляли 2,37г (0,0107 г-экв) C₁₀H₂₁Br в 2 мл ДМСО и выдерживали при температуре 80 °C в течение 32 ч. Далее растворитель удаляли при пониженном давлении, полученный продукт промывали ацетонитрилом и высушивали в вакууме 20–30 мм рт. ст. при температуре 60 °C. OSS-C₁₀N⁺Br при комнатной температуре представляет собой вязкое вещество коричневого цвета. Выход: 4,83 г (89 %). ИК: ν Si—O—Si (1043 см⁻¹); ν C—H-связей CH₂- и CH₃-групп (2832–2991 см⁻¹); δ C—H-связей CH₂- и CH₃-групп (1462 см⁻¹); ν O—H-связей (3018–3690 см⁻¹). ¹H ЯМР (DMSO-d₆): 0,69 м.д. ([SiO_{1,5}]_n—CH₂—); 0,86 м.д. (—CH₃); 1,25 м.д. (CH₃(CH₂)₇—); 1,77 м.д. (=N⁺—CH₂—CH₂—); 3,18 м.д. (=N⁺—CH₂—CH₂—); 3,38 и 3,48 м.д. (=N⁺—CH₂—CH(OH)—, —CH₂OH, —CH₂OH, —CH(OH)—); 4,03 (—CH(OH)—).

Методы исследования.

ИК-спектры снимали на спектрофотометре TENSOR 37 FT-IR в спектральной области 600–4000 см⁻¹, ¹H ЯМР спектры – на спектрометре Varian VXR-400 МГц с использованием в качестве растворителя DMSO-d₆.

Антимикробную активность OSS-C₁₀N⁺Br против бактериальных культур *Staphylococcus aureus* (ATCC-25923), *Escherichia coli* (ATCC-25922) и *Pseudomonas aeruginosa* (ATCC-27853), а также против штаммов гриба *Candida albicans* (M 885 ATCC 10231) и клинических изолятов грибов *Candida albicans*, *Candida glabrata* и *Candida krusei* определяли диско-дифузионным методом на твердой питательной среде [30] в соответствии с международными стандартами EUCAST, CLSI, а также методическими указаниями МОЗ Украины. Концентрация суспензии исследованных микробных культур (инокулюма) составляла 1·10⁵ колониеобразующих единиц в 1 мл (КОЕ/мл) культуральной жидкости. Объем инокулюма на чашках Петри составлял 0,2 мл. OSS-C₁₀N⁺Br в виде растворов концентраций 1,0; 0,5 или 0,1 % и объемом 0,02 мл наносили на стандартные бумажные диски (диаметром 6 мм). Инкубацию проводили на протяжении 18 ч. при температуре +37 °C. Антимикробную активность определяли по величине диаметра зоны подавления роста микроорганизмов (мм) вокруг диска с исследованным веществом.

Результаты исследования и их обсуждение.

Синтез исходного OSS(N+OH) основан на реакции гидролитической конденсации продукта взаимодей-

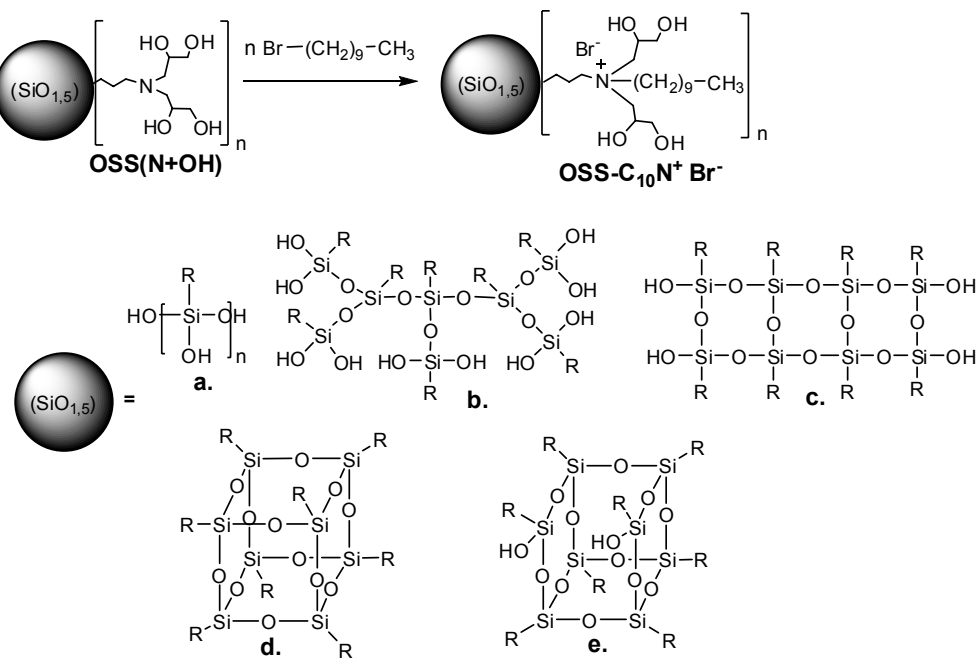


Рис.1. Схема синтеза $\text{OSS-C}_{10}\text{N}^+\text{Br}^-$ на основе $\text{OSS}(\text{N}+\text{OH})$, а также образующиеся структуры силесквиоксанового каркаса: линейные (a), разветвлённые (b), лестничные (c), полностью и не полностью конденсированные полиэдральные структуры (на примере октаэдральных) (d и e)

ствия глицидола и 3-аминопропилтриэтоксисилана [27–29]. Полученный продукт при комнатной температуре представляет собой твердое прозрачное стеклообразное гигроскопичное вещество, растворимое в воде, ДМФА, ДМСО и не растворимое в ацетоне, диоксане, бензоле, толуоле и пиридине. $\text{OSS}(\text{N}+\text{OH})$ является смесью наночастиц размером около 3 нм [27–29], в состав которой, согласно данным MALDI-TOF [27, 28], входят гидроксил- и аминосодержащие силесквиоксаны с различным строением неорганического каркаса (рис. 1). Они включают разветвлённые структуры (содержат не менее пяти силанольных групп в молекуле), лестничные (четыре силанольных группы), частично конденсированные (одна-три силанольных группы) и полностью конденсированные (не содержат силанольных групп). Согласно данным ГПХ, $\text{OSS}(\text{N}+\text{OH})$ характеризуется полимодальным молекулярно-массовым распределением со значением индекса полидисперсности 1,11. Среднечисленное значение молекулярной массы составляет 4000 г/моль, что соответствует эффективной степени полимеризации $n = \sim 16$ [28, 29]. Наличие значительного количества гидроксильных и третичных аминогрупп делает данные соединения перспективными в качестве исходных соединений для дальнейшей функционализации.

Кватернизацию $\text{OSS}(\text{N}+\text{OH})$ осуществляли *n*-брому-деканом. Выбор последнего основан на возможности получения амфи菲尔ных соединений с определённым гидрофильно-гидрофобным балансом. Известно, что последнее оказывает существенное влияние на характер адсорбции на различных поверхностях, в т.ч. и на

поверхности клеточных мембран [18]. Синтез осуществляли в растворе ДМСО при соотношении $\text{N} : \text{R-Br} = 1:1$ (рис. 1). Продукт реакции $\text{OSS-C}_{10}\text{N}^+\text{Br}^-$ представляет собой смелообразное вещество коричневого цвета растворимое в воде, ДМФА и ДМСО, при нагревании – в этаноле, нерастворимое в ацетонитриле, ацетоне, этилацетате, гексане, хлороформе, ТГФ и толуоле. Способность полученного продукта переходить в жидкое агрегатное состояние при небольшом нагревании позволяет отнести его к классу олигомерных ионных жидкостей органо-неорганического типа.

В ИК-спектрах $\text{OSS}(\text{N}+\text{OH})$ и $\text{OSS-C}_{10}\text{N}^+\text{Br}^-$ (рис. 2)

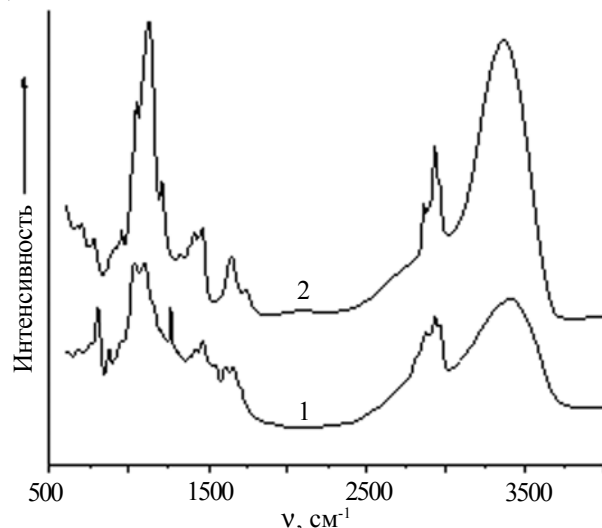
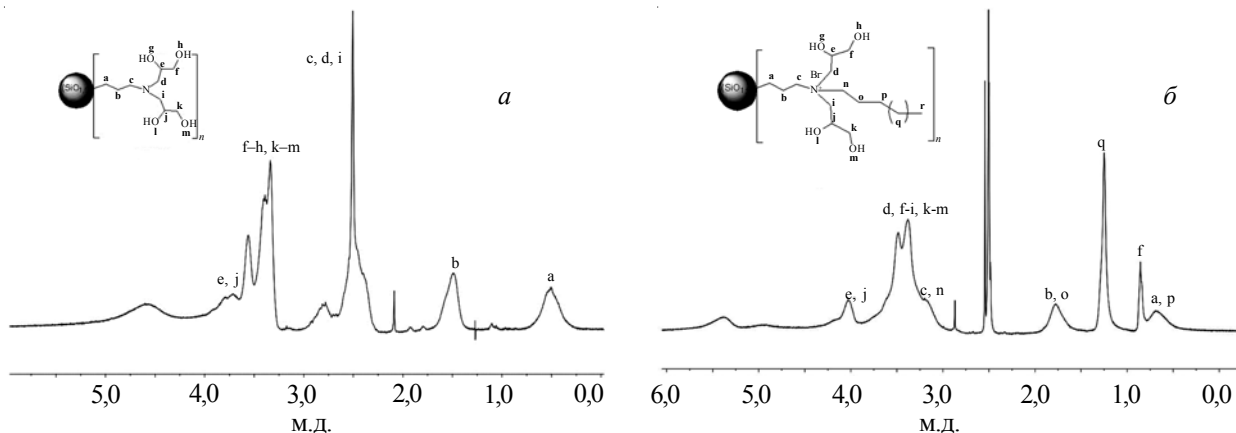


Рис. 2. ИК-спектры: $\text{OSS}(\text{N}+\text{OH})$ (1) и $\text{OSS-C}_{10}\text{N}^+\text{Br}^-$ (2)

Рис. 3. ^1H ЯМР спектры OSS(N+OH) (а) и OSS- $\text{C}_{10}\text{N}^+\text{Br}$ (б)

присутствуют полосы поглощения валентных колебаний Si—O—Si-связей ($1031\text{--}1143\text{ см}^{-1}$); C—H-связей CH- и CH_2 -групп ($2765\text{--}3020\text{ см}^{-1}$) и O—H-связей ($3000\text{--}3700\text{ см}^{-1}$); деформационных колебаний C—H-связей CH- и CH_2 -групп (1462 см^{-1}); OH-связей ($3018\text{--}3690\text{ см}^{-1}$).

Строение полученных соединений исследовано методом ^1H ЯМР спектроскопии (рис. 3). В спектре исходного OSS(N+OH) присутствуют сигналы протонов CH_2 -групп в α - (2,38 и 2,78 м.д.), β - (1,50 м.д.) и γ - (0,51 м.д.) положениях к третичному атому азота, сигналы протонов CH- и CH_2 -групп в α -положении к гидроксильным группам, а также сигналы протонов гидроксильных групп находятся в области 3,25–4,00 м.д. Кроме того в спектре присутствует широкая полоса, свидетельствующая о быстром обмене протонов.

В спектре OSS- $\text{C}_{10}\text{N}^+\text{Br}$ наблюдается смещение сигналов протонов CH_2 -групп в α -положении к атому азота в область слабого поля (3,38 м.д.) по сравнению с таковыми исходного OSS(N+OH). Кроме того, появляются сигналы протонов CH_3 -групп (0,86 м.д.), а также повторяющихся CH_2 -групп алкильной цепи (1,25 м.д.) при соединённой к атому азота в ходе кватернизации. Исходя из данных ^1H ЯМР спектроскопии, в разработанной методике синтеза образование побочного продукта в результате возможного алкилирования гидроксильных групп n -бромдеканом не происходит. В то же время нами обнаружено, что использование в данной реакции хлоралканов (на примере n -хлоргексана) приводит к частичному алкилированию гидроксильных групп OSS(N+OH) при тех же условиях проведения процесса.

Диско-диффузионный метод определения чувстви-

тельности микроорганизмов к антибактериальным препаратам основан на способности препаратов диффундировать из пропитанных ими бумажных дисков в питательную среду, угнетая рост микроорганизмов, посвященных на поверхности данной среды. В таблице представлены результаты исследования антимикробной активности OSS- $\text{C}_{10}\text{N}^+\text{Br}$ против бактериальных культур *Staphylococcus aureus* (ATCC-25923), *Escherichia coli* (ATCC-25922) и *Pseudomonas aeruginosa* (ATCC-27853), а также против штамма гриба *Candida albicans* (M 885 ATCC 10231) и клинических изолятов грибов *Candida albicans*, *Candida glabrata*, *Candida krusei*.

Согласно полученным данным, OSS- $\text{C}_{10}\text{N}^+\text{Br}$ не влияет на исследованные штаммы бактерий и в то же время имеет дозозависимое фунгистатическое действие на культуры гриба *Candida* spp.

Наиболее чувствительными к OSS- $\text{C}_{10}\text{N}^+\text{Br}$ являются клинические изоляты гриба *C. glabrata* и *C. krusei*. Так вокруг дисков, пропитанных 1 %-ным водным раствором OSS- $\text{C}_{10}\text{N}^+\text{Br}$, диаметры зон подавления роста культур *C. glabrata* и *C. krusei* составляли 38 и 24 мм соответственно. Постепенное снижение концентрации OSS- $\text{C}_{10}\text{N}^+\text{Br}$ приводило к снижению фунгистатического эффекта – при концентрации 0,1 % диаметры зон подавления роста уменьшались и составляли 13 мм для *C. glabrata* и 12 мм для *C. krusei*. Значительное фунгистатическое влияние OSS- $\text{C}_{10}\text{N}^+\text{Br}$ на *C. krusei* и *C. glabrata* представляет интерес, так как эти культуры, наряду с *C. tropicalis*, *C. parapsilosis* и др., являются известными внутриклеточными клиническими опортунистическими патогенами с природной,

Таблица. Антимикробная активность OSS- $\text{C}_{10}\text{N}^+\text{Br}$

Вещество	Концентрация водного раствора, %	Диаметр зоны подавления роста микроорганизмов, мм						
		E. coli ATCC	Ps.aer. ATCC	St.aur. ATCC	C. alb. ATCC	C. alb.	C. glabr.	C. krusei
OSS- $\text{C}_{10}\text{N}^+\text{Br}$	1	0	0	0	12	10	38	24
	0,5	0	0	0	10	9	20	18
	0,1	0	0	0	8	8	13	12

генетически обусловленной, резистентностью к стандартным противогрибковым препаратам [31].

Фунгистатическое влияние OSS-C₁₀N⁺Br на штамм *Candida albicans* (M 885 ATCC 10231) и его клинический изолят также имеет дозозависимый характер, однако чувствительность данных микроорганизмов к действию OSS-C₁₀N⁺Br значительно уступает чувствительности *C. glabrata* и *C. krusei*. При концентрации OSS-C₁₀N⁺Br, равной 1,0 %, диаметры зон подавления роста *Candida albicans* (M 885 ATCC 10231) и его клинического изолята составляли соответственно 12 и 10 мм, а при концентрации OSS-C₁₀N⁺Br, равной 0,1 % – по 8 мм.

Следует отметить, что фунгистатическое влияние OSS-C₁₀N⁺Br на клинические изоляты *Candida* находится на уровне противогрибкового средства МК-099 [32], однако ниже, чем для распространенного препарата флюконазол [33].

Выводы.

Разработан способ синтеза амфи菲尔ного реакци-

Литература

1. Schwab J.J., Lichtenhan J.D. Appl. Organometal. Chem., 1998, **12**, no. 10-11: 707–713.
2. Phillips S.H., Haddad T.S., Tomczak S.J. Current Opinion in Solid State and Materials Sci., 2004, **8**, no. 1: 21–29.
3. Joshi M., Butola B.S. J. of Macromolecular Sci., 2004, **44**, no. 4: 389–410.
4. Pielichowski K., Njuguna J., Janowski B., Pielichowski J. Adv. Polym. Sci., 2006, **201**: 225–296.
5. Wu J., Mather P.T. J. of Macromolecular Sci., Part C: Polymer Reviews, 2009, **49**, no. 1: 25–63.
6. Gnanasekaran D., Madhavan K., Reddy B.S.R. J. of Scientific and Industrial Research, 2009, **68**, no. 6: 437–464.
7. Ayandele E., Sarkar B., Alexandridis P. Nanomaterials, 2012, **2**, no. 4: 445–475.
8. Zhang W., Muller A.H.E. Progress in Polymer Sci., 2013, **38**, no. 8: 1121–1162.
9. Zhou H., Ye Q., Xu J. Mater. Chem. Front., 2017, **1**, no. 2: 212–230.
10. Ghanbari H., Cousins B.G., Seifalian A.M. Macromol. Rapid Commun., 2011, **32**, no. 14: 1032–1046.
11. Zhou Z., Lu Z. Nanomedicine (Lond.), 2014, **9**, no. 15: 2387–2401.
12. Kannan R.Y., Salacinski H.J., Edirisinghe M.J., Hamilton G., Seifalian A.M. Biomaterials, 2006, **27**, no. 26: 4618–4626.
13. Crowley C., Klanrit P., Butler C.R., Varanou A., Plat M., Hynds R.E., Chambers R.C., Seifalian A.M., Birchall M.A., Janes S.M. Biomaterials, 2016, **83**: 283–293.
14. Fong H., Dickens S.H., Flaim G.M. Dental Materials, 2005, **21**, no. 6: 520–529.
15. Kim S.K., Heo S.J., Koak J.Y., Lee J.H., Lee Y.M., Chung D.J., Lee J.I., Hong S.D. J. of Oral Rehabilitation, 2007, **34**, no. 5: 389–395.
16. McCusker C., Carroll J.B., Rotello V.M. Chem. Commun., 2005, no. 8: 996–998.
17. Ye X., Gong J., Wang Z., Zhang Z., Han S., Jiang X. Macromol Biosci., 2013, **13**, no. 7: 921–926.
18. Majumdar P., Lee E., Gubbins N., Stafslieen S.J., Daniels J., Thorson C.J., Chisholm B.J. Polymer, 2009, **50**, no. 5: 1124–1133.
19. Majumdar P., He J., Lee E., Kallam A., Gubbins N., Stafslieen S.J., Daniels J., Chisholm B.J. J. Coat. Technol. Res., 2010, **7**, no. 4: 455–467.
20. Liu Y., Leng C., Chisholm B., Stafslieen S., Majumdar P., Chen Z. Langmuir, 2013, **29**, no. 9: 2897–2905.
21. Chojnowski J., Fortuniak W., Rosciszewski P., Werel W., Lukasiak J., Kamysz W., Halasa R. J. of Inorganic and Organometallic Polymers and Materials, 2006, **16**, no. 3: 219–230.
22. Gerba C.P. Appl. Environ. Microbiol., 2015, **81**, no. 2: 464–469.
23. Sauvet G., Dupond S., Kazmierski K., Chojnowski J. J. of Appl. Polymer Sci., 2000, **75**, no. 8: 1005–1012.
24. Sauvet G., Fortuniak W., Kazmierski K., Chojnowski J. J. of Polymer Sci.: Part A: Polymer Chemistry, 2003, **41**, no. 19: 2939–2948.
25. Davies A., Bentley M., Field B.S. J. Appl. Bact., 1968, **31**, no. 4: 448–461.
26. Xue Y., Xiao H., Zhang Y. Int. J. Mol. Sci., 2015, **16**, no. 2: 3626–3655.
27. Mori H., Lanzendorfer M.G., Muller A.H.E., Klee J.E. Macromolecules, 2004, **37**, no. 14: 5228–5238.
28. Tereshchenko T.A., Shevchuk A.V., Shevchenko V.V., Snegir S.V., Pokrovskii V.A. Polym Sci. Ser. A, 2006, **48**, no. 12: 1248–1256.
29. Bliznyuk V.N., Tereshchenko T.A., Gumenna M.A.,

Gomza Yu P., Shevchuk A.V., Klimenko N.S., Shevchenko V.V. Polymer, 2008, **49**, no. 9: 2298–2305.

30. Bauer A., Kirby W., Sherris J., Turck M. Am. J. Clin. Pathol., 1966, **45**, no. 4: 493–496.

31. Pappas P.G., Kauffman C.A., Andes D.R., Clancy C.J., Marr K.A., Ostrosky-Zeichner L., Reboli A.C., Schuster M.G., Vazquez J.A., Walsh T.J., Zaoutis T.E., Sobel J.D.

Clinical Infectious Diseases, 2016, **62**, no. 4: e.1–e.50.

32. Lozano-Chiu M., Nelson P.W., Paetznick V.L., Rex J.H. J. of clinical microbiology, 1999, **37**, no. 5: 1625–1627.

33. Kirkpatrick W.R., Turner T.M., Fothergill A.W., McCarthy D.I., Redding S.W., Rinaldi M.G., Patterson T.F. J. of clinical microbiology, 1998, **36**, no. 11: 3429–3432.

Поступила в редакцию 31 мая 2017 г.

Синтез та антимікробні властивості олігомерних силесквіоксанів, що містять в органічному обрамленні кватернізовані атоми азоту та гідроксильні групи

М.А. Гуменна¹, Н.С. Клименко¹, О.В. Стрюцький¹, Д.М. Година², Л.О. Метелица², О.В. Шевчук³, В.В. Кравченко³, В.В. Шевченко¹

¹Інститут хімії високомолекулярних сполук НАН України
48, вул. Харківське шосе, Київ, 02160, Україна

²Інститут біоорганічної хімії та нафтохімії НАН України
1, вул. Мурманська, Київ, 02660, Україна

³Інститут фізико-органічної хімії та вуглехімії імені Л.М. Литвиненка НАН України
50, вул. Харківське шосе, Київ, 02160, Україна

Запропоновано метод синтезу амфіфільних реакційноздатних олігомерних силесквіоксанів, що ґрунтуються на реакції кватернізації н-бромдеканом суміші олігосилесквіоксанів, які містять в органічному обрамленні третинні амінні, первинні та вторинні гідроксильні групи та досліджена їхня антимікробна активність до деяких бактеріальних культур і грибів. Будову синтезованої речовини охарактеризовано методами ІЧ- та ¹Н ЯМР спектроскопії. Встановлено, що ця сполука не впливає на штами бактерій *Staphylococcus aureus* (ATCC-25923), *Escherichia coli* (ATCC-25922) та *Pseudomonas aeruginosa* (ATCC-27853) і в той же час має дозозалежний фунгістатичний вплив на гриб *Candida albicans* (M 885 ATCC 10231) та клінічні ізоляти *Candida albicans*, *Candida glabrata*, *Candida krusei*.

Ключові слова: олігомерні силесквіоксані, кватернізація, четвертинні амонієві сполуки, антимікробна активність.

Synthesis and antimicrobial properties of oligomeric silsesquioxanes containing quaternized nitrogen atoms and hydroxyl groups in organic shell

M.A. Gumenya¹, N.S. Klimenko¹, A.V. Stryutsky¹, D.M. Hodyna², L.A Metelitsa², A.V. Shevchuk³, V.V. Kravchenko³, V.V. Shevchenko¹

¹Institute of Macromolecular Chemistry of the National academy of sciences of Ukraine
48, Kharkiv'ske shose, Kyiv, 02160, Ukraine

²Institute of Bioorganic Chemistry and Petrochemistry NAS of Ukraine
1, Murmanska str., Kyiv, 02660, Ukraine

³L. M. Litvinenko Institute of Physical-organic Chemistry and Coal Chemistry NAS of Ukraine
50, Kharkiv'ske shose, Kyiv, 02160, Ukraine

The prospective use of POSS as an inorganic frame for obtaining the antimicrobial agents is associated with the possibility of combining in a compact structure a significant amount of ammonium groups and the simultaneous regulation of amphiphilicity both by a change in the degree of hydrophobicity (length) of the introduced alkyl substituents and the total number of ionic groups and the nature of the anion and also with increase of thermal stability of the obtained compounds. Considering the complexity and high cost of synthesis of POSS we develop a different approach to the synthesis of reactive organic-inorganic quaternized bactericidal compounds with silsesquioxane inorganic nucleus. It is based on the use as a starting inorganic component of a mixture of oligomeric silsesquioxanes containing in organic shell hydroxyl and tertiary amino groups (OSS (N + OH)) followed by quaternization of amino groups with different agents. The simplicity of synthesis of OSS (N + OH) and its multifunctional reactivity opens new possibilities for the directed production of organic-inorganic antimicrobial agents.

*A method for the synthesis of amphiphilic reactive oligomeric silsesquioxanes based on reaction of quaternization of oligosilsesquioxanes containing tertiary amine, primary and secondary hydroxyl groups in organic shell with n-bromodecane was proposed and an antimicrobial activity of those compounds against bacteria and fungi was investigated at this report. The structure of the synthesized compounds was characterized by IR- and ¹H NMR spectroscopy. It was found that those compounds do not affect bacterial strains of *Staphylococcus aureus* (ATCC-25923), *Escherichia coli* (ATCC-25922) and *Pseudomonas aeruginosa* (ATCC-27853) and at the same time have a dose-dependent fungistatic effect on the fungus of *Candida albicans* (M 885 ATCC 10231) and clinical isolates of *Candida albicans*, *Candida glabrata*, *Candida krusei*.*

Keywords: oligomeric silsesquioxanes, quaternarization, quaternary ammonium compounds, antimicrobial activity.